

تشخیص و بررسی کاهش دامنه P300 در پتانسیل‌های وابسته به رویداد شنوایی تک ثبت با استفاده از الگوریتم ژنتیک و طبقه‌بندی کننده شبکه عصبی

مهدي عبدالصالحي^۱، محمدعلی خليل زاده^۲ و محمود رضا آذرپژوه^۳

^۱دانشکده مهندسي، دانشگاه آزاد اسلامي واحد اسلام شهر

^۲گروه مهندسي پزشكى، دانشکده مهندسي، دانشگاه آزاد اسلامي واحد مشهد

^۳گروه مغز و اعصاب، دانشگاه علوم پزشكى مشهد

چکیده:

P300 را برجسته ترین مؤلفه در بین مؤلفه های شناختی مختلف موجود در سیگنال الکتریکی مغز می دانند. طبق تحقیقات انجام شده، هنگامی که مغز در حین پردازش یک سری از تحریکات معمول، به یک تحریک جدید (تحریک غیرمعمول) بر می خورد، در سیگنال مغزی ثبت شده، یک موج P300 ظاهر می شود که با تشخیص این مؤلفه می توان تحریکات جدید را از تحریکات معمول جدا سازی کرد. دامنه مؤلفه P300 در هنگام اعمال تحریکات صوتی، پس از گذشت مدت زمانی از شروع آزمایش کاهش می یابد؛ به نحوی که در تشخیص دامنه این مؤلفه با مشکل روبرو می شویم. در این تحقیق با استفاده از پنج تحریک صوتی، به بررسی کاهش دامنه این مؤلفه و علل آن در سه بلوک ثبت مجزاً و همچنین تشخیص این مؤلفه شناختی، به وسیله شبکه عصبی و الگوریتم ژنتیک پرداخته ایم. در نهایت با استفاده از ده ویژگی بهینه، به عنوان ورودی طبقه‌بندی کننده شبکه عصبی در کanal Pz با صحت ۶۱٪ در دادگان آموزش و ۶۰٪ در دادگان آزمون در بلوک اول، تکثیت‌های حاوی موج P300 از تکثیت‌های فاقد این موج جدا سازی شده‌اند.

واژه‌های کلیدی: الکترو انسفالوگرافی (EEG)، پتانسیل‌های وابسته به رویداد، P300، شبکه عصبی، الگوریتم ژنتیک

سیگنال افزوده شده به نویز ناهمبسته است، صحیح نیست و در حقیقت، پتانسیل‌های برانگیخته، به عنوان نتایج دوباره سازماندهی شده از فاز سیگنال EEG جاری، فرض شده است [2]. برجسته ترین مؤلفه در بین مؤلفه های شناختی مختلف موجود در ERP فرد، مؤلفه P300 بوده که در حقیقت نوع خاصی از ERP و یا به تعبیر دیگر مؤلفه ای از ERP است که در شرایط خاصی ظاهر می شود. طبق تحقیقات انجام شده، هنگامی که مغز در حین پردازش یک سری از تحریکات معمول، به یک تحریک جدید (تحریک غیرمعمول) بر می خورد، در سیگنال مغزی ثبت شده، یک موج ظاهر می شود. برای تحریکات صوتی، میزان تأخیر موج P300 به طور متوسط حدود 300ms است که علت انتخاب نام این مؤلفه نیز به علت پلاریته مثبت و تأخیر 300ms آن بوده است. برطبق مدل Sokolov ، P300 زمانی تولید می شود که

۱- مقدمه

الکترو انسفالوگرافی روشی جهت اندازه‌گیری فعالیت الکتریکی مغز بوده که توسط میلیارد ها سلول عصبی یا نرون به وجود می آید. سیگنال ثبت شده در سطح جمجمه را ناشی از برآیند این پتانسیل‌های میدانی موجود در هادی حجمی مغز در اثر فعالیت‌های نرونی می دانند. برهم کنش سیگنال‌های حاصل از این تحریکات پس‌سیناپسی در مناطق مختلف مغز، از نواحی مختلف جمجمه قابل جمع‌آوری بوده و همین امر مفهوم الکترو انسفالوگرافی را بنیان نهاده است. رویدادهای مختلفی، به خصوص تحریکات حسی، تغییرات قفل زمانی شده را در فعالیت جمعیت نرونی القا می کنند که به طور عموم به آنها "پتانسیل وابسته به رویداد (ERP) می گویند" [1]. در حالت کلی بیان این مسئله که ERP یک

به جداسازی تکثیت‌های حاوی مؤلفه P300 از تکثیت‌های عاری از این مؤلفه پرداخته شده است.

۲- مشخصات ثبت داده

برای استخراج مؤلفه P300، طی آزمایشی به اخذ سیگنال روی هشت نفر که همگی مرد و در محدوده سنی ۲۲ تا ۲۷ سال بودند، پرداخته شد. افراد از نظر شناوی‌سالم بوده و سابقه هیچ‌گونه بیماری اعصاب نداشته و از هیچ دارویی نیز استفاده نکرده بودند. همچنین همگی شرکت‌کنندگان راست دست بودند. برای طراحی الگوی Oddball، پنج، تُن صوتی با فرکانس‌های زاویده‌ای ۱۵، ۳۵۰، ۴۵۰ و ۵۰۰ رادیان بر ثانیه که طول هر کدام حدود ۱۱۰ میلی‌ثانیه بوده است، به گوش راست سوزه‌ها داده شده و گوش چپ نیز با نویز سفید سد^۱ می‌شد. لذا پنج انتخاب برای هر فرد به وجود می‌آمد. سوزه‌ها قبیل از آزمایش، تُن‌های صوتی را شنیده و یکی را به دلخواه انتخاب می‌نمودند. با توجه به اینکه در این تحقیق هدف اصلی آشکارسازی ERP‌ها بوده است، لذا سوزه باید می‌توانست به راحتی این پنج تحریک را از دیگر تفکیک نماید. همچنین لازم بود که تُن‌ها به گونه‌ای طراحی گردد که سوزه‌ها توانایی انتخاب تک‌تک تُن‌ها را داشته باشد و هیچ تُن خاصی به گونه‌ای نباشد که سوزه‌ها فقط آن را انتخاب کرده و تُن‌های دیگر استفاده نشود.

پس از نصب الکترودهای Ag-AgCl (که روی خط وسط سر در محل کانال‌های Pz و Cz و Fz و مطابق استاندارد ۲۰-۲۰ نصب می‌گردید) و کنترل پایین بودن امپدانس اتصال از حد لازم، آزمایش شروع می‌شد. آزمایش طی دو فاز آموزش و آزمون اجرا شده است؛ به طوری که در فاز آموزش، تُن‌ها با ترتیب تصادفی بر روی یک گوشی که بر روی هر دو گوش سوزه‌ها قرار داشت، پخش می‌گردید و سوزه از بین این پنج تُن، یکی را به عنوان تُن هدف در نظر می‌گرفت. سپس در فاز آزمون که بلافصله پس از اتمام فاز آموزش شروع می‌شد، به سوزه ترکیبی تصادفی از تحریکات داده شده و از سوزه خواسته می‌شد که پس از شنیدن تحریک هدف، یک وظیفه^۲ را انجام دهد. این وظیفه از این قرار بود که از سوزه خواسته می‌شد پس از شنیدن تحریک هدف، یک کلید را بفشارد.

¹ mask

² task

نیاز به توجه خاص برای پردازش یک تحریک جدید وجود داشته باشد که با تحریکات قبلی متفاوت است. با توجه به همین نکته، آزمایش‌هایی که با هدف کار بر روی P300 Oddball انجام می‌شود، از یک الگوی کلی تحت عنوان P300 استفاده می‌کنند. در این الگو دو نوع تحریک متفاوت در یک رشته از تحریکات به فرد اعمال می‌شود؛ بهنحوی که یکی از آن‌ها بهنسبه به طور غیرمعمول روی می‌دهد. از فرد خواسته می‌شود به این تحریک غیرمعمول، به طور مثال با فشردن کلیدی، پاسخ دهد. مؤلفه P300 تنها، زمانی به‌وقوع می‌بینند که فرد به تحریک غیرمعمول پاسخ دهد.^[۳]. البته برخی از محققان اعتقاد دارند که P300 ناشی از فعالیت شناختی بوده و انجام وظیفه خارجی تنها تقویت‌کننده این فعالیت داخلی است و در تولید آن نقش مهمی ندارد.^[۴].

از نظر مکانی، در اغلب کارهای تحقیقاتی انجام شده در زمینه P300، سیگنال از سه کانال موجود روی خط وسط سر، یعنی Pz، Cz و Fz ثبت شده است. تحقیقات نشان داده است که در اغلب موارد، P300 دارای بیشترین دامنه در ناحیه پاریتال (Pz) و کمترین دامنه در ناحیه فرونتال (Fz) می‌باشد.^[۵]

با توجه به این مسئله که در اثر طولانی‌شدن زمان ثبت در آزمایش‌های با الگوی Oddball تحریکات صوتی، دامنه مؤلفه P300، شروع به کاهش می‌کند^[۶]، در این تحقیق، ثبت سیگنال در سه بلوک مجزاً و با فاصله بین هر بلوک یک برابر سه تا پنج دقیقه صورت گرفته است.

همچنین، برای استخراج ویژگی‌های مرتبط با مؤلفه P300 از سیگنال ERP ثبت شده، از روش Kalatzis و همکارانش که برای تفکیک بین بیماران مبتلا به افسردگی و افراد سالم از آشکارسازی موج P600 (یکی دیگر از مؤلفه‌های شناختی سیگنال مغزی، که به طورمعمول در تحریکات شنیداری ظاهر می‌شود) به صورت تکثیت بهره بودن، استفاده شده است^[۷]. به این صورت که از سیگنال‌های تکثیت مربوط به هر تحریک، (که از شروع هر تحریک تا یک ثانیه پس از هر تحریک ادامه خواهد داشت)، هیجده ویژگی مرتبط با شکل ظاهری سیگنال در یک بازه مشخص استخراج نموده‌ایم. از آنجایی که تمام ویژگی‌های استخراج شده، ممکن است در تفکیک نمونه‌های هدف از غیر هدف مفید نباشند؛ و یا ممکن است در برخی موارد نتایج را بدتر کنند؛ لذا با استفاده از الگوریتم ژنتیک به انتخاب ویژگی‌های برتر پرداخته و با استفاده از طبقه‌بندی کننده شبکه عصبی،

ویژگی بازه زمانی ۱۰۰ تا ۴۰۰ میلی ثانیه، به عنوان بازه بهینه برای هر داده ثبت یک ثانیه‌ای در نظر گرفته شده است. ویژگی‌های استخراج شده، برابر هیجده ویژگی بوده که در تحقیق Kalatzis و همکاران معروف و به کار برده شده است [7]. ویژگی‌های استفاده شده، به شرح زیر می‌باشد:

s(t) بیان‌گر سیگنال ERP و $[t_{start} \ t_{stop}]$ بازه زمانی مناسب پس از شروع تحریک، برای استخراج ویژگی می‌باشد.

۱- زمان نهفتگی سیگنال (LAT, t_{Smax})^۲: عبارت است از

لحظه‌ای که بیشینه دامنه سیگنال ظاهر می‌شود

$$t_{Smax} = \{t | s(t) = s_{max}\}$$

۲- دامنه سیگنال (AMP, S_{max})^۳: بیشترین مقدار دامنه سیگنال

$$S_{max} = \max\{s(t)\}$$

۳- نسبت زمان نهفتگی، به دامنه سیگنال (LAR)^۴:

$$t_{Smax} / S_{max}$$

۴- قدر مطلق دامنه سیگنال ($AAMP$)^۵:

$$|S_{max}|$$

۵- قدر مطلق نسبت زمان نهفتگی به دامنه سیگنال ($ALAR$)^۶:

$$|t_{Smax} / S_{max}|$$

۶- ناحیه مثبت (PAR, A_p)^۷: مجموع مقادیر مثبت سیگنال:

$$A_p = \sum_{t_{start}}^{t_{stop}} 0.5(s(t) + |s(t)|)$$

۷- ناحیه منفی (NAR, A_n)^۸: مجموع مقادیر منفی سیگنال

$$A_n = \sum_{t_{start}}^{t_{stop}} 0.5(s(t) - |s(t)|)$$

۸- قدر مطلق ناحیه منفی ($ANAR$)^۹:

$$|A_n|$$

۹- مجموع ناحیه (TAR, A_{pn})^{۱۰}:

مدت زمان ارایه هر تحریک صوتی حدود ۱۱۰ میلی ثانیه و مدت زمان خالی، بین هر دو تحریک (ISI) برابر دو ثانیه در نظر گرفته شده بود. همچنین تعداد تحریکات در فاز آزمایش برابر ۱۰۰ ثُن صوتی بوده است که هر کدام از پنج ثُن، به تعداد بیست بار و به صورت تصادفی تکرار شده و یک دنباله صد تابی از تحریکات را ایجاد می‌نمودند. از هر سوژه، روزانه دست کم سه ثبت با فاصله بین هر بلوک (IBI) به طور تقریبی سه تا پنج دقیقه گرفته شده است. داده‌های ثبت شده به سه بلوک تقسیم شد که بلوک اول شامل ثبت‌های اول گرفته شده در یک روز، بلوک دوم شامل ثبت‌های دوم گرفته شده در روز و بلوک سوم شامل بقیه ثبت‌های گرفته شده در همان روز است.

همزمان با ارایه تحریکات صوتی، سیگنال EEG فرد به طور پیوسته از لحظه شروع نمایش تا انتهای آن ثبت می‌گردید. علاوه بر سیگنال EEG، سیگنال EOG^{۱۱} نیز با اتصال دو الکترود به بالا و پایین یکی از چشم‌ها از طریق دو کanal دیگر از دستگاه EEG ثبت گردید.

۳- روش‌های پردازشی

در این مرحله با برنامه‌ای که تحت نرم‌افزار MATLAB 7.1 نوشته شده است، ابتدا فایل سیگنال خوانده شده و پس از فیلترسازی به وسیله فیلترهای بالاگذر و پایین‌گذر ۰/۵ هرتز و ۳۵ هرتز، دویست نمونه از سیگنال مربوط به لحظه شروع هر تحریک تا یک ثانیه بعد از آن، برای سه کanal Cz، Pz و Fz جدا می‌شود. داده‌های یک ثانیه‌ای که در طول ثبت آن‌ها، دامنه EOG از یک حد آستانه بیشتر شده است و یا این که دامنه خود سیگنال EEG در کanal‌های ثبت شده از حد آستانه بالاتر رفته است، به عنوان داده نامعتبر تلقی شده و در ادامه پردازش‌ها استفاده نمی‌گردد. تعداد کل داده‌ها در هر بلوک ثبت، برابر ۷۱۱ تکثیت بوده که در مجموع ۲۰٪ مربوط به تحریک هدف و ۸۰٪ مربوط به تحریکات غیرهدف بوده‌اند.

۳-۱- استخراج ویژگی

پس از پیش‌پردازش داده‌ها و جداسازی دوره‌های یک ثانیه‌ای براساس نوع تحریک در سه کanal ذکر شده، برای استخراج

¹ Electro Oculo Gram

$$n_{sa} = \sum_{t_{start}+\tau}^{t_{stop}-\tau} 0.5 \times \left| \frac{s(t-\tau) - s(t)}{|s(t-\tau) - s(t)|} + \frac{s(t+\tau) - s(t)}{|s(t+\tau) - s(t)|} \right|$$

که τ فاصله نمونه برداری است.

۲-۳- انتخاب ژنتیکی دسته ویژگی

با توجه به این مسأله که تمام ویژگی های استخراج شده در تفکیک داده های هدف از غیر هدف، مفید نبوده و یا در برخی موارد ممکن است نتایج را بدتر کنند، لازم است که ویژگی های مناسب را از ویژگی های نامناسب جدا نماییم. به همین منظور با توجه به قابلیت بالای الگوریتم ژنتیک در انتخاب ویژگی های بهینه، این روش برای انتخاب ترکیب اولیه ویژگی ها، یک جمعیت^{۱۱} شامل بیست رشته، که هر رشته شامل هیجده بیت می باشد، (هر بیت نشان دهنده وجود یا عدم وجود ویژگی مورد نظر است) به صورت تصادفی ارزیابی^{۱۲} قرار می گیرد. در رابطه (۱)، TA نشان دهنده Nontarget، Target Accuracy و FF accuracy نیز تابع برازنده می باشد [۸].

در مرحله بعد با استفاده از ارزیابی مقادیر به دست آمده و نرخ گذار^{۱۴} و نرخ جهش^{۱۵} تعریف شده، جمعیت بعدی محاسبه می شود و دوباره میزان درصد تفکیک با جمعیت جدید، مورد ارزیابی قرار گرفته و این کار مرتب تکرار می شود (شکل ۱). تعداد دفعات تکرار الگوریتم توسط پارامتری به نام تولید^{۱۶}، مشخص می شود [۸]. مقادیر پارامترهای تعریف شده این الگوریتم در (جدول ۱) آمده است.

¹⁰Slope Sign Alterations

¹¹ Population

¹² Fitness

¹³ Evaluate

¹⁴ Crossover Rate

¹⁵ Mutation Rate

¹⁶ Generation

$$A_{pn} = A_p + A_h$$

: (۱۰- قدر مطلق مجموع ناحیه ATAR)

$$|A_{pn}|$$

: (۱۱- مجموع قدر مطلق ناحیه TAAR, A_{phl})

$$A_{phl} = A_p + |A_h|$$

: (۱۲- متوسط قدر مطلق شب سیگنال AAASS)

$$AAASS = \frac{1}{n} \sum_{t_{start}}^{t_{stop}-\tau} \frac{1}{\tau} |s(t+\tau) - s(t)|$$

که τ فاصله نمونه برداری و n تعداد نمونه ها در بازه مورد نظر می باشد.

: (۱۳- پیک تا پیک سیگنال PP)

$$pp = s_{max} - s_{min} \text{ و } s_{min} = \min\{s(t)\}$$

: (۱۴- پنجره زمانی پیک تا پیک PPT, t_{pp})

$$t_{pp} = t_{smax} - t_{smin}$$

: (۱۵- شب پیک تا پیک PPS)

$$PPS = \frac{pp}{t_{pp}}$$

: (۱۶- محل عبور صفر ZC, n_{zc}) : تعداد دفعاتی که در پنجره زمانی پیک تا پیک $s(t) = 0$ می شود، به طوری که اگر $s(t) = 0$ آن گاه $\delta_s = 0$ و در غیر این صورت $\delta_s = 1$

$$n_{zc} = \sum_{t=t_{smin}}^{t_{smax}} \delta_s$$

: (۱۷- چگالی عبور صفر ZCD, d_{zc}) : عبور صفر در واحد زمان در پنجره زمانی پیک تا پیک

$$d_{zc} = \frac{n_{zc}}{t_{pp}}$$

: (۱۸- تغییر علامت شب SSA, n_{sa}) : تعداد دفعات تغییر علامت شب در دو نقطه مجاور در سیگنال ERP:

¹Total Area

²Absolute Total Area

³Total Absolute Area

⁴Average Absolute Signal Slope

⁵Peak to Peak

⁶Peak to Peak Time window

⁷Peak to Peak Slope

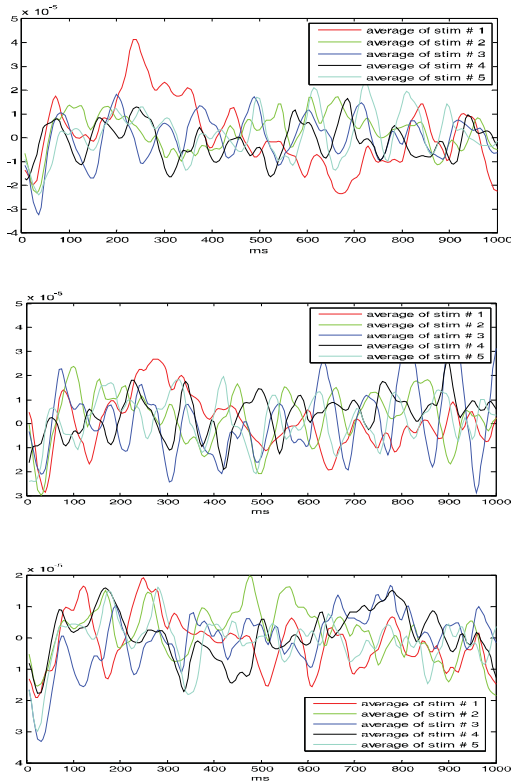
⁸Zero Crossings

⁹Zero Crossing Density



است. به این منظور سیگنال‌های مربوط به هر تحریک (در هر کanal ثبت) محاسبه شده و در خروجی نمایش داده می‌شود. در (شکل ۲) سیگنال ERP در سه نمونه از سه بلوک ثبت دیده می‌گردید.

با بررسی در دامنه مؤلفه P300 برای سوزه‌ها، متوجه می‌گردیم که در گذار از بلوک ثبت اول به بلوک‌های ثبت بعدی، یک کاهش شدید دامنه به وقوع پیوسته است؛ هر چند که در تحقیق Lindin و همکاران گزارش شده است که با یک فاصله زمانی برابر سه تا پنج دقیقه، بازیابی دامنه مؤلفه P300 به‌موقع می‌بینند [6]. اما در این تحقیق با توجه به (جدول ۲) خلاف این مساله مشاهده شده است.



(شکل ۲) متوسط ERP در یکی از سوزه‌ها در کanal Pz و به ترتیب در بلوک‌های اول، دوم و سوم. سوال هدف، تحریک شماره یک می‌باشد. دامنه‌ها بر حسب میکروولت می‌باشد.
نتایج (جدول ۲) و (شکل ۲)، در (شکل ۳) دیده می‌شود. (شکل ۳) به جهت وضوح بیشتر، مشاهده افت دامنه P300 رسم شده است.

۳-۳- طبقه‌بندی کننده شبکه عصبی

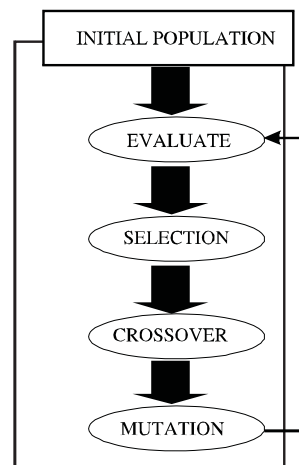
در این تحقیق با استفاده از شبکه عصبی پرسپترون چندلایه و با استفاده از الگوریتم پسانشتر خطا، تکثیت‌های حاوی مؤلفه P300 از تکثیت‌های فاقد این مؤلفه، جداسازی می‌شوند. در این روش از یک شبکه عصبی پرسپترون سه لایه که شامل یک لایه ورودی، یک لایه مخفی شامل شش گره و یک لایه با یک گره در خروجی، استفاده شده است. ۸۰٪ از داده‌ها برای آموزش و ۲۰٪ برای آزمایش به صورت آتفاقی انتخاب گردید.

جدول ۱: مقادیر پارامترهای استفاده شده در الگوریتم زنگیک

Population size	20
Crossover rate	1.0
Mutation rate	0.01
Number of generations	50

جدول ۲ بررسی متوسط دامنه P300 در سه بلوک ثبت متوالی

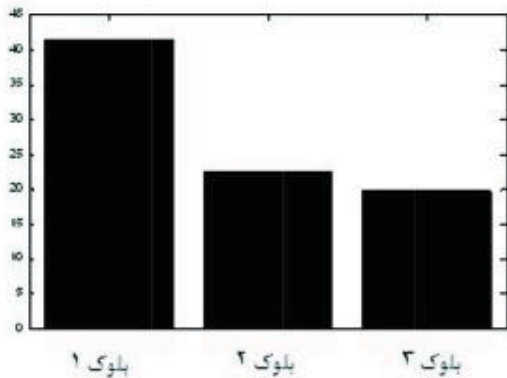
دامنه بر حسب میکرو ولت	شماره بلوک
۴۱/۴	بلوک اول
۲۲/۵	بلوک دوم
۱۹/۸	بلوک سوم



شکل ۱: فلوچارت نشان دهنده فرآیند تکاملی که الگوریتم رُنْتیک دنبال می‌کند.

۴- نتایج

پس از پایان آزمایش‌ها، نتایج هر سوزه در هر بلوک ثبت جهت بررسی دامنه P300، همچنین اطمینان از صحت انجام آزمایش‌ها، با استفاده از روش متوسط‌گیری استخراج شده



(شکل ۳) بررسی متوسط دامنه P300 در سه بلوک ثبت متواالی.
دامنهای بر حسب میکروولت می‌باشد.

Block	Number of Selected Features	Nontarget Accuracy Train	Nontarget Accuracy Test	Target Accuracy Train	Target Accuracy Test	Overall Accuracy
بلوک اول	۱۰	۹۱/۳۰	۸۶/۵۵	۶۱/۴۷	۶۰/۰۰	۶۱/۱۷
بلوک دوم	۹	۸۰/۷۶	۷۴/۷۶	۶۰/۹۲	۵۸/۵۴	۶۰/۴۴
بلوک سوم	۷	۷۱/۹۳	۶۲/۹۶	۷۶/۷۶	۶۱/۹۰	۷۳/۷۷

شکل ظاهری سیگنال از نظر اندازه دامنه، تغییر کرده و درنتیجه ویژگی‌ها تفاوت پیدا می‌کنند. همچنین در قسمت اعمال تحریکات، در بعضی موارد، مؤلفه P300 در تحریکات غیرهدف ایجاد شده که این امر ممکن است ناشی از اثر تحریک‌کنندگی دیگر تن‌های صوتی و یا آمادگی و انتظار سوزه برای شنیدن تحریک هدف باشد. همچنین در برخی موارد دیگر، مؤلفه P300 در تحریکات هدف ایجاد نشده است که این مورد را می‌توان به خستگی سوزه ارتباط داد.

همچنین در این تحقیق مشاهده گردید در صورتی که از فاصله بین بلوکی برابر سه تا پنج دقیقه برای استراحت سوزه استفاده گردد، برخلاف آنچه که در تحقیق Lindin و همکارانش آمده بود [6]، بازیابی دامنه وجود نداشت. علت این تفاوت به احتمال آن است که در این تحقیق برخلاف تحقیق Lindin به جای دو تحریک صوتی از پنج تحریک استفاده گردیده بود؛ لذا نیاز است تا فاصله بین بلوک‌های ثبت، بیش از این مقدار در نظر گرفته شود.

درنهایت در این تحقیق با استفاده از ویژگی‌های برتر در کanal Pz به دقت تفکیک ۶۰/۰۰٪ در داده‌های آزمون بلوک اول، به دقت تفکیک ۵۸/۵۴٪ در داده‌های آزمون بلوک دوم و به دقت تفکیک ۶۱/۹۰٪ در داده‌های آزمون

درنهایت با استفاده از یک سیستم شناخت مبتنی بر شبکه عصبی با یک لایه مخفی و الگوریتم ژنتیک، به نتایج نشان داده شده در (جدول ۳) و در سه زیر بلوک اول، دوم و سوم با فاصله بین هر بلوک برابر سه تا پنج دقیقه می‌رسیم. همان‌طور که مشاهده می‌شود در بهترین حالت و با استفاده LAT, ANAR, TAR, ATAR, PP, PPS, ZCDAMP, ALAR, NAR, برای بلوک اول، و با استفاده از نه ویژگی AASS, PPT, PPS, ZCD LAR, ALAR, ANAR, بلوک دوم و با استفاده از هفت ویژگی AMP, ANAR, TAR, PP, PPS, ZA, SSA در بلوک سوم به نتایج ارائه شده در (جدول ۳) رسیده ایم.

این میزان درصد تفکیک با ویژگی‌های بهینه استخراج شده از کanal Pz به دست آمده است.

۵- بحث و نتیجه‌گیری

با توجه به نتایج، دیده می‌شود که در بلوک‌های متفاوت، ویژگی‌های انتخاب شده توسط الگوریتم ژنتیک تفاوت پیدا می‌کند. علت این امر به احتمال می‌تواند آن باشد که در اثر تکرار تحریکات و درنتیجه، خستگی سوزه و یا تطبیق یابی،



مهدی عبدالصالحی مدرک
 کارشناسی خود را در رشته مهندسی پزشکی - بالینی در سال ۱۳۸۲ از دانشگاه صنعتی امیرکبیر و مدرک کارشناسی ارشد در رشته مهندسی پزشکی - بیوپلکتریک را در سال ۱۳۸۵ دانشگاه آزاد اسلامی واحد مشهد اخذ نموده است. وی هم اکنون دانشجوی دوره دکترا مهندسی پزشکی-بیوپلکتریک دانشگاه آزاد اسلامی واحد علوم و تحقیقات می‌باشد. زمینه‌های تحقیقاتی مورد علاقه وی پردازش سیگنال‌های حیاتی، تجزیه و تحلیل سیگنال‌های مغزی و بررسی فعالیت‌های شناختی مغز می‌باشد.

نشانی (رایانامک) پست الکترونیکی ایشان عبارت

است از: abdossalehi@yahoo.com



محمدعلی خلیلزاده درجه
 کارشناسی مهندسی برق - الکترونیک در سال ۱۳۶۹ از دانشگاه صنعتی شریف و کارشناسی ارشد مهندسی برق - مهندسی پزشکی در سال ۱۳۷۲ از همان دانشگاه دست یافت. ایشان در سال ۱۳۷۸ به درجه دکترا تخصصی مهندسی برق - مهندسی پزشکی در دانشگاه تربیت مدرس رسید. وی دارای سابقه فعالیت و تدریس در گروه مهندسی پزشکی دانشگاه شاهد، دانشکده مهندسی پزشکی دانشگاه صنعتی امیرکبیر و دانشکده مهندسی پزشکی واحد علوم و تحقیقات دانشگاه آزاد اسلامی در دوره‌های کارشناسی و تحصیلات تکمیلی می‌باشد. ایشان دارای سوابق فعالیت‌های پژوهشی در جهاد دانشگاهی صنعتی شریف و پژوهشکده پردازش هوشمند عالم بوده و هم اکنون در زمینه اندازه‌گیری، پردازش و تحلیل سیگنال‌های حیاتی بهویژه سیگنال‌های مغزی، مدل‌سازی سیستم‌های حیاتی، تحلیل فرآیندهای درکی و سایکوفیزیولوژیکی در انسان فعالیت دارد. وی هم اکنون مدیر گروه مهندسی پزشکی دانشگاه آزاد اسلامی مشهد است.

نشانی (رایانامک) پست الکترونیکی ایشان عبارت

است از: makhilzadeh@mshdiau.ac.ir

بلوک سوم دست یافته‌ایم که نتایج بسیار خوبی را نسبت به تحقیقات دیگر نشان می‌دهد.

۶- مراجع

عبدالصالحی، م؛ اکبرزاده توتوچی، م؛ تشخیص مؤلفه‌های شناختی در سیگنال مغزی با استفاده از ANFIS یازدهمین کنفرانس بین المللی کامپیوتر تهران؛ ۱۳۸۴

[2] Niedermeyer, & et al "Electroencephalography: Basic Principles, Clinical Applications and Related Fields".5th ed. Philadelphia, PA: Lippincott Williams and Wilkins; 2005.

[3] N Jeremy Hill, & et al; "An Auditory Paradigm for Brain-Computer Interface"; Max Plank Institute for Biological Cybernetics; 2004

[4] بوطالبی، و؛ مرادی ، م.ح؛ خلیل زاده، م.ع؛ تشخیص مؤلفه‌های شناختی در سیگنال‌های مغزی با استفاده از ضرایب ویولت؛ فصلنامه مهندسی پزشکی زیستی؛ شماره اول، سال اول

[5] Odin van der Stelt & et al; "Application of Electroencephalography to the Study of Cognitive and Brain Functions in Schizophrenia"; Schizophrenia Bulletin vol. 33 no. 4 pp. 955-970, 2007

[6] Lindin M & et al; "Stimulus intensity effects on P300 amplitude across repetition of standard auditory Oddball task"; Biological Psychology; Vol. 69; PP 375-385; 2005

[7] Kalatzis, I;et al; Design and implementation of an SVM-based computer classification system for discriminating depressive patients from healthy controls using the P600 component of ERP signals, Computer Methods and Programs in Biomedicine, Vol.75, pp.11-22, 2004.

[8] Miller,M.T.,Jerebko, A.K., Malley, J.D. and Summers, R.M., "Feature Selection Algorithm", Proceedings of SPIE, Vol.5031, pp.102-110, 2003

[9] Lindin M,et al; "Changes in P300 amplitude during an active standard auditory oddball task"; Biological Psychology; pp. 153-167, 2004

محمود رضا آذرپژوه مدرک دکترای

حرفه‌ای خود را در سال ۱۳۷۳ از دانشگاه

علوم پزشکی مشهد و مدرک PHD خود را

در رشته نخصص مغز و اعصاب در سال

۱۳۸۰ از همان دانشگاه اخذ نموده است.



وی هم اکنون فلوشیپ سکته‌های مغزی می‌باشد؛ زمینه‌های

تحقیقاتی مورد علاقه وی علوم اعصاب می‌باشد.

نشانی (رایانامک) پست الکترونیکی ایشان عبارت

azarpazhooh@yahoo.com است از:

فصلنامه
دولتی



سال ۱۳۸۸ شماره ۱ پیاپی ۱۱

www.SID.ir